

BOUTHEINA MARAOUI TELMINI

Des amphores puniques Maña D de la région d'Utique (Utica): la production de Besbassia

Introduction

Le site d'Utique est localisé à 33 km au nord-ouest de Carthage, à 32 km au sud-est d'Hippo Diarrhytus et à 25 km au nord-est de Thuburbo Minus.¹ Fondée selon la tradition littéraire à l'extrême fin du XII^{ème} s. av. J.-C.,² sur la côte africaine, ses vestiges se trouvent aujourd'hui à environ 12 km du rivage à cause des alluvions de la Medjerda. D'après les résultats des fouilles récentes³ la Cité aurait commencé très tôt à confectionner sa propre céramique tournée. En effet, les attestations d'une production locale ont été recueillies dans des contextes de remblai déplacé dont le matériel remonte à la première moitié du 8^{ème} s. av. J.-C. jusqu'à la première moitié du 7^{ème} s. av. J.-C.⁴ Il n'est pas exclue, néanmoins que parmi ces trouvailles, existent des fragments qui proviennent notamment de Carthage. A vrai dire, il est extrêmement difficile de distinguer les deux productions, plus particulièrement pour la période la plus ancienne de l'existence des deux cités, en l'absence des investigations pétrographiques et archéométriques. Quelques gisements d'argiles repérées aux alentours d'Utique, dont celui de Zhana et de Besbassia nous autorisent à croire que la Cité s'approvisionnait dans ces carrières depuis l'Antiquité. Ceci est confirmé en effet, par l'existence, plus particulièrement à Henchir Besbassia, des restes de fours qui ont été fouillés par le Professeur F. Chelbi, durant l'année 1990.⁵ Il s'agit de fours, spécialisés dans la confection des amphores, qui auraient fonctionné au moins durant la période punique tardive. Quelques spécimens de cette production ont fait l'objet d'une comparaison avec des échantillons de production carthaginoise qui remontent à la même époque.⁶ Certains de ces échantillons seront repris dans notre étude et seront appuyés prochainement par d'autres prélèvements en cours.

¹ Khlifi 2014, 52.

² Velleius Paterculus, I, 2,3; Pseudo-Aristote, 134; Pline l'Ancien, XVI, 216.

³ Monchambert and Ben Jerbania 2013.

⁴ Ibidem.

⁵ Maraoui Telmini and Bouhlel 2011, 332.

⁶ Maraoui Telmini and Bouhlel 2011.

Présentation des échantillons

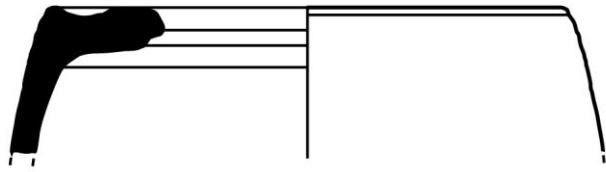
Ces échantillons consistent, d'une part, en quatre bords d'amphores Maña D, qui se rattachent plus précisément au type Ramon T-5.2.3.1, daté du dernier quart du 3^{ème} s. av. J.-C., jusqu'au premier quart du second s. av. J.-C. Ils ont été pris dans les fours de Besbassia qui semblent avoir fonctionné au cours de la période punique tardive produisant exclusivement des amphores Maña D. D'autre part, parmi les échantillons recueillis à Carthage et attribués précédemment à une fabrique de la région de Carthage (FACEM, group CAR-REG-A-2),⁷ se trouve un fragment de bord d'une amphore punique qui présente des caractéristiques granulométriques identiques aux fragments de Besbassia. Il s'agit d'un bord d'une amphore du type Ramon T-6.1.1.3, daté du 3^{ème} s. av. J.-C., qui provient des fouilles de l'Université d'Amsterdam/INP (Tunisie), à Bir Massouda, recueilli en surface.⁸ L'ensemble de ces échantillons se présentent comme suit:

- B1 (M 118/1): fragment de bord d'une amphore Maña D, Ramon T.5.2.3.1; argile blanche (5Y8/1). Diam. max. du bord: 20,2cm; Diam. intérieure du bord: 11cm; H. préservée: 6cm (fig. 1,1.a-b).
- B2 (M 118/2): fragment de bord d'une amphore Maña D, Ramon T.5.2.3.1; argile rouge léger (2.5YR 6/6), surface externe rose (5YR 8/4). Diam. max. du bord: 21,6cm; Diam. intérieure du bord: 12cm; Diam. max. de la panse: 23,8cm; H. préservée: 8,5cm, (fig. 1,3.a-b)
- B3 (M 118/3): fragment de bord d'une amphore Maña D, Ramon T.5.2.3.1; argile rouge léger (2.5YR 6/6), surface rouge léger (2.5YR 6/8). Diam. max. du bord: 22cm; H. préservée: 3,7cm (fig. 1,4.a-b).
- B4 (M 118/4): fragment de bord d'une amphore Maña D, Ramon T.5.2.3.1; argile jaune pâle (5Y 8/3). Diam. max. du bord: 18cm; Diam. intérieure du bord: 8,6cm; H. préservée: 2cm (fig. 1,2.a-b).
- M 94/1: fragment de bord d'une amphore du type Ramon T-6.1.1.3, argile rouge (2.5YR 5/6), surface extérieure "scum" 2.5Y8/2, surface intérieure rouge léger 2.5YR6/6; Diam. max. du bord: 15,6cm (précédemment identifié comme CAR-REG-A-2).

Ces fragments ont fait l'objet d'abord, d'une observation macroscopique et microscopique, sur cassure fraîche, au microscope binoculaire (Wild M7a, échelle x 20) afin de tenter une classification macro et microscopique préliminaire. Ensuite, ils ont été soumis à une observation microscopique en lames minces et en sections polies qui sont deux approches complémentaires. La première, ayant pour objectifs de fournir une caractérisation de leur structure et la composition minéralogique de chaque échantillon. La seconde permet la détermination des oxydes ou des inclusions métalliques et l'évaluation de leur porosité.

⁷ Bechtold, Gassner and Trapichler 2011.

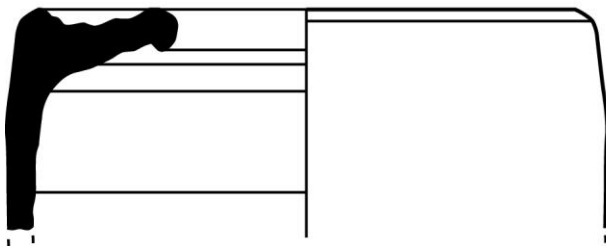
⁸ Bechtold 2008, 83, cat. 14.



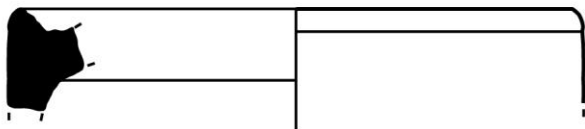
1



2



3



4



1 0 5 10 cm

Fig. 1 Dessin et photos des amphores de Besbassia. 1.a-b fragment B1– M 118/1 (UTI-A-1). 2.a-b fragment B4– M 118/4 (UTI-A-1). 3.a-b fragment B2 – M 118/2 (UTI-A-2). 4.a-b fragment B3 – M 118/3 (UTI-A-2).

Enfin, ces observations sont complétées par une approche analytique composée des analyses XRF et XRD qui ont été utilisées pour comparer et valider les conclusions pétrographiques et métallographiques.

L'ensemble de ces investigations a permis de répartir ces échantillons en deux sous-groupes, les critères de la classification macroscopique et microscopique étant: le type de la matrice et sa couleur, la composition des inclusions, leurs tailles, leurs formes et leur quantité.

Le premier sous-groupe,⁹ rassemble les échantillons B1 et B4 qui se caractérisent par une matrice de couleur jaune pâle; une granulométrie homogène, composée de particules de quartz de taille moyenne avec des sporadiques particules grossières; présence également de quelques particules grossières, de couleur rouge foncé à marron, et de taille qui peut atteindre 5mm. Sous microscope métallographique les mêmes échantillons se caractérisent par la présence de particules fines à grossières d'hématite; des vides subparallèles d'épaisseurs variées et quelques sporadiques inclusions de chamotte.

Le deuxième sous-groupe,¹⁰ se compose des échantillons B2 et B3 qui se caractérisent par une matrice fine et compacte de couleur rouge; une granulométrie hétérogène à prédominance de particules sableuses moyennes à fines, de sporadiques particules grossières de quartz, des fragments de roches blanches et des inclusions grossières de couleur rouge à marron de taille qui atteint 5 à 3 mm. Sous microscope métallographique ces échantillons se caractérisent par une matrice riche en fer, la présence de particules fines et grossières d'hématite ayant parfois la même taille que les grains de quartz; des vides subparallèles plus ou moins larges; de nombreuses inclusions de chamotte; des particules sableuses cimentées par l'oxyde de fer et la présence de foraminifères.

⁹ Correspond au sous-groupe 5, cf. Maraoui Telmini and Bouhlel 2011, 337.

¹⁰ Correspond au sous-groupe 5, ibidem.

KARIN SCHMIDT

Amphorae Fabrics of Utica (Ityke)

Introduction

Very recently, ceramic fabrics referring to plain wares and transport amphorae produced at Utica have been identified and discussed in detail by B. Maraoui Telmini and S. Bouhleb (see above, Maraoui Telmini). On the basis of binocular microscopy (at x20 magnification) and petrographical analyses of nine samples from Utica itself, three macroscopic and four petrographical subgroups have been distinguished.¹ Within the framework of the present project, we had the opportunity to study five of the above-mentioned amphorae samples.

Similarly to at Carthage (see FACEM, group CAR-REG)², ceramic fabrics at Utica are primarily characterised by a fine matrix and a well- to poorly-sorted sandy quartz temper. The quartz is rounded to subrounded and more or less fractured. The packing range varies between 12.5% and 20%. Due to infrequent vughy and especially to channel shaped voids, the porosity appears to be quite low (about 5%–10%). In comparison to the Carthaginian groups, fabrics of Utica are characterised by a lower percentage of quartz grains, which are generally of smaller sizes (fine to medium). Moreover, the matrix of the Utica groups shows a higher amount of carbonatic elements with a higher frequency of limestone fragments (from large to silt fraction). Finally, typical features also include a lot of coarse red to reddish-brown inclusions (mainly iron oxide as hematite) and sometimes grog (chamotte). It has to be pointed out, however, that further analysis of more samples is necessary to confirm the above fabric observations.

UTI-A-1 (M 118/1. 4) Ref. M 118/1

Samples M 118/1 and M 118/4 correspond to samples B1 and B4 from Utica-Besbassia, which form Maraoui Telmini's and Bouhleb's macroscopic subgroup 5³ and the petrographic subgroup 4.⁴ UTI-A-1 shows a pale-yellow, calcareous matrix. Sample M 118/4 is riddled with small white carbonate particles and, most of all, with pseudomorphoses. The temper is principally characterised by very frequent to frequent small- to medium-sized quartz grains (clear, transparent grey, rounded to subrounded) and frequent small- to medium-sized red to reddish-brown particles (spherical to subspherical, elongated to very elongated).

¹ Maraoui Telmini and Bouhleb 2011.

² Bechtold, Gassner, and Trapichler 2011; Bechtold 2012.

³ Maraoui Telmini and Bouhleb 2011, 332, 337, tab. 1, fig. 4, 5, 8; 5, 1: 'the matrix colour is pale yellow; well sorted grain size composed of medium size quartz; coarse quartz is sporadically observed; present also are dark red to brown very coarse inclusions sometimes up to the size of 5mm.'

⁴ Maraoui Telmini and Bouhleb 2011, 340, fig. 8, 4a-b; 9,1: 'fine matrix orange to yellow; predominance of fine sandy inclusions (about 30 percent); well sorted rounded quartz of medium grain size, scarcely fractured; fine to coarse grains of hematite, sub-parallel void spaces of varying widths; sporadic grog inclusions. B4 contains scarce bioclasts of the Foraminifera group, epigenised by iron oxide.'

Sporadically, black particles can also be observed. Medium-sized orange to reddish-brown pseudomorphoses are rare, foraminifera occur sporadically. UTI-A-1 presents a moderate frequency of channel and vug-shaped voids. So far, this fabric has been found in amphorae of Ramon's T-5.2.3.1.⁵

UTI-A-2 (M 94/1⁶, M 117/1, M118/2.3) Ref. M 118/2

UTI-A-2 differs from UTI-A-1 due to its reddish to orange colour and its higher percentage of medium-sized inclusions. Samples M 118/2 and M 118/3 correspond to Maraoui Telmini's and Bouhlel's samples B2 and B3 from Utica-Besbassia, which form their macroscopic subgroup 6⁷ and the petrographical subgroup 5.⁸ Sample M 117/1, characterised by a higher frequency of large limestone fragments among its sand temper, corresponds to Maraoui Telmini's and Bouhlel's sample U1 (Utica, necropolis) and is part of their macroscopic subgroup 7⁹, as well as their petrographical subgroup 6.¹⁰ Fabric UTI-A-2 shows a compact, light-red to orange matrix with numerous yellowish-white calcareous elements. Furthermore, we find infrequent (M 118/3) to frequent white and yellowish calcium carbonate fragments and pseudomorphoses. The latter of these are often subspherical-shaped and sometimes very irregular and very elongated (M 118/2). Similarly to in UTI-A-1, the temper of UTI-A-2 is basically characterised by the predominance of rounded to subrounded quartz grains (clear, transparent grey and brownish). Red to reddish-brown particles are also frequent, sometimes stacking together in conglomerates. Black inclusions are rare. Large white (M 118/3) or red (M 117/1) grog fragments of subspherical to subelongated shape are sporadically present. Foraminifera are uncommon. Voids are channel- to vug-shaped and predominately of small size. So far, UTI-A-2 has been found in amphorae of Ramon's T-4.2.2.3 and T-5.2.3.1, but apparently also in plain wares such as jugs and unguentaria (close to Vegas' 39).¹¹

⁵ Maraoui Telmini and Bouhlel 2011, 332, tab. 1: B1, B2, B3, B4.

⁶ Previously identified as CAR-REG-A-2.

⁷ Maraoui Telmini and Bouhlel 2011, 332, 337, tab. 1, fig. 4, 6, 7; 5, 2–3: 'fine and compact red matrix, poor grain size sorting; there is a predominance of medium and fine sand particles, more prevalent than the sporadic, very coarse grains of quartz, fragments of white rocks, and dark red to brown very coarse inclusions attaining sizes of 5 x 3 mm.'

⁸ Maraoui Telmini and Bouhlel 2011, 340, fig. 9, 2a–b. 3a–b: 'fine matrix, reddish to orange, predominance of fine sandy fractions (about 20–30 percent); iron-rich; well sorted rounded quartz, medium grained size, scarcely fractured; fine and coarse grains of hematite, sometimes having the same size as quartz; sub-parallel void spaces more or less wide; numerous grog inclusions; some sandstones fragments cemented by iron oxide (fig. 9:2b); presence of Foraminifera.'

⁹ Maraoui Telmini and Bouhlel 2011, 332, 337, tab. 1, fig. 3, 8; 5, 4: 'the matrix colour is red to light red with medium porous structure; well sorted grain size composed of medium to fine quartz, rounded and sub-rounded, containing numerous 'white specks' resulting from a much higher presence of limestone among the sand inclusions.'

¹⁰ Maraoui Telmini and Bouhlel 2011, 340, fig. 9, 4a–b: 'fine orange matrix, predominance of sandy fractions (about 20 to 30 percent); containing some limestone fragments; medium sized grains of quartz, mainly rounded, sub-rounded and fractured; sporadic grains of hematite; sub-parallel void spaces irregular shapes, more or less wide.'

¹¹ Maraoui Telmini and Bouhlel 2011, 332, tab. 1: U1, U2, U3, U4, U5.

References

- Bechtold B. 2008. *Observations on the Amphora Repertoire of Middle Punic Carthage*. Carthage Studies 2. Gent: Department of Archaeology and Ancient History of Europe, Ghent University.
- . 2012. "Pottery Production of Punic Carthage." In FACEM (version 06/06/2012), (<http://www.facem.at/project-papers.php>).
- Bechtold B., V. Gassner and M. Trapichler. 2011. "The Fabrics of the Area of Carthage (CAR-REG)." In FACEM (version 06/12/2011), (<http://www.facem.at/project-papers.php>).
- Khelifi L. 2014. *La présence Phénico-punique dans la région de Bizerte*, Dissertation Faculté des Sciences humaines et sociales de Tunis, Tunis.
- Maraoui Telmini B., and S. Bouhlel. 2011. "Petrographic and mineralogy characterization of local Punic plain wares from Carthage and Utica." In *Ceramics of the Phoenician-Punic world: collected essays*, edited by C. Sagona, 327-48. Ancient Near Eastern Studies Suppl. 36. Leuven-Paris-Walpole: Peeters.
- Monchambert J.-Y., and I. Ben Jerbania. 2013. "Rapport préliminaire sur les deux premières campagnes de fouilles de la mission franco-tunisienne, 2011 et 2012." In *Chronique des activités archéologiques de l'École Française de Rome (Magreb)*, (<http://cefr.revues.org/996>).

This article should be cited as: B. Telmini, K. Schmidt, "Des amphores puniques Maña D de la région d'Utique (Utica): la production de Besbassia." In FACEM (version June/06/2015) (<http://www.facem.at/project-papers.php>)